侯朋福, 薛利祥, 俞映倞, 等. 稻田径流易发期不同类型肥料的氮素流失风险[J]. 农业环境科学学报, 2017, 36(7): 1353-1361.

HOU Peng-fu, XUE Li-xiang, YU Ying-liang, , et al. Nitrogen loss risk of paddy field under different fertilizations in runoff prone period[J]. *Journal of Agro-*Environment Science, 2017, 36(7): 1353–1361.

# 稻田径流易发期不同类型肥料的氮素流失风险

侯朋福<sup>1</sup>, 薛利祥<sup>1</sup>, 俞映信<sup>1</sup>, 江 瑜<sup>2</sup>, 汪吉东<sup>1</sup>, 薛利红<sup>1\*</sup>, 杨林章<sup>1</sup>

(1.江苏省农业科学院农业资源与环境研究所, 南京 210014; 2.中国农业科学院作物科学研究所, 北京 100081)

摘 要:依据 60 年典型自然降雨资料分析了太湖地区稻田径流易发期,结合不同肥料减量运筹长期定位试验(2009 年开始)近 3 年的径流监测数据,比较了径流易发期内不同处理的实际径流氮素控制效果。结果表明,太湖地区水稻生长前期降雨概率较大,6 月 21 日—7 月 6 日单日降雨概率均超过 50%。从阶段统计结果来看,基肥期和麋肥期(含基肥—麋肥阶段)降雨概率和降雨量均明显高于穗肥期、麋肥—穗肥阶段和穗肥后至成熟阶段,降雨概率分别达 48.15%和 49.81%,降雨量分别为 12.81 mm 和 12.84 mm,均超过实际监测到径流的同期最低降雨量 11.5 mm,产生径流可能性较大,是稻季径流易发期。从定位试验的实际产生径流和田面水氮素浓度结果来看,易发期径流和田面水氮素以铵态氮为主,硝态氮差异不显著。与常规用量分次施肥处理(CN)相比,化肥减量优化处理(RF)和有机无机减量配施处理(OCN)径流易发期径流氮素浓度分别较 CN 处理平均降低 8.83%和 19.18%。缓控释肥减量替代处理(SCU)的基肥期和基肥—麋肥阶段径流氮素浓度和田面水氮素浓度明显高于其他处理,径流氮素浓度较 CN 处理分别增加了20.3%和 11.72%,但麋肥期径流氮素浓度减少 30.72%。全有机肥减量替代处理(OF)肥期径流和田面水氮素浓度降低,其中基肥期径流氮素浓度较 CN 处理降低 9.04%、麋肥期降低 28.53%,但基肥—麋肥阶段氮素浓度较 CN 处理增加了 19.7%,增加了氮素径流损失风险。不同氮肥减量措施能够降低易发期内不同阶段径流氮素浓度,但在径流易发期的径流氮素损失控制效果不能一概而论。

关键词:稻田;径流;易发期;肥料类型;氮素流失

中图分类号:X592 文献标志码:A 文章编号:1672-2043(2017)07-1353-09 doi:10.11654/jaes.2017-0695

### Nitrogen loss risk of paddy field under different fertilizations in runoff prone period

 $HOU\ Peng-fu^1,\ XUE\ Li-xiang^1,\ YU\ Ying-liang^1,\ JIANG\ Yu^2,\ WANG\ Ji-dong^1,\ XUE\ Li-hong^{1*},\ YANG\ Lin-zhang^1,\ Lin-zhang^2,\ YANG\ Lin-zhang^2,\ YANG$ 

(1.Institute of Agricultural Resources and Environment, Jiangsu Academy of Agricultural Sciences, Nanjing 210014, China; 2.Institute of Crop Science, Chinese Academy of Agricultural Sciences, Beijing 100081, China)

Abstract: The runoff prone period of paddy field in Taihu Lake region was analyzed according to the typical natural rainfall data of 60 years in this study. Then, the actual runoff nitrogen control effect from paddy field in runoff prone period of different fertilization reduction treatment were compared using the runoff monitoring data in recent 3 years of a long—term fertilization reduction experiment that initiated in 2009. The results showed that, the rainfall probability was larger in early rice growth stage in Taihu Lake region and daily rainfall probability between June 21st and July 6th were more than 50%. The rainfall probability of basal fertilization stage and tillering fertilization stage were 48.15% and 49.81%, respectively, obviously higher than other stages. The mean precipitation of these two stages were 12.81 mm and 12.84 mm, both exceed the minimum rainfall for runoff(11.5 mm), implying high probability for paddy runoff in these two periods. The nitrogen in runoff water and surface water in the runoff prone period were mainly ammonium nitrogen as the long—term experiment study indicated. Compared with conventional nitrogen rate nitrogen rate (CN) treatment, the nitrogen concentrations of reduced nitrogen rate treatment(RF) and organic combined with chemical nitrogen treatment(OCN) were decreased 8.83% and 19.18%, respectively. The nitrogen

收稿日期:2017-05-12

作者简介:侯朋福(1986—),男,山东高密人,博士,助理研究员,主要从事农田养分管理与面源污染控制研究。E-mail:pengfuhou100smby@163.com \*通信作者:薛利红 E-mail:njxuelihong@gmail.com

基金项目:公益性行业(农业)科研专项(201503106);国家自然科学基金青年科学基金项目(41601319);国家重点研发计划项目(2017YFD0300100)

Project supported: The Special Fund for Agro-scientific Research on Public Interests(201503106); The Young Scientists Fund of the National Natural Science Foundation of China(41601319); The National Key Research and Development Program China(2017YFD0300100)

concentrations in runoff water and surface water of sulfur coating urea treatment (SCU) in basal fertilization and basal fertilization—tiller—ing fertilization stage were higher than those of other treatments, which increased 20.3% and 11.72% respectively incomparasion with CN treatment. The nitrogen concentration in runoff water of organic fertilizer treatment (OF) decreased 9.04% and 28.53% in basal fertilization and tillering fertilization stage, respectively, but increased 19.7% in tillering fertilization—panicle fertilization stage compared with CN treatment, which increased the risk of runoff nitrogen loss. The nitrogen reduction measures referred in this study can reduce the runoff water nitrogen concentrations in the runoff prone period of paddy field, but the effect on nitrogen loss control in the runoff prone period are different.

Keywords: paddy field; runoff; prone period; fertilizer type; nitrogen loss

随着工业废水和城市生活污水等点源污染得到 控制,农村面源污染控制逐步成为现代农业和社会可 持续发展的重大课题,农田氮肥面源污染作为其中的 重要组成部分备受关注[1]。太湖地区水资源丰富,是我 国农业集约化种植区域之一,水稻种植面积占耕地总 面积的 75%[2-3]。王桂良等[4基于文献数据的 Meta 分 析发现,氮素径流损失是长江流域单季稻生长期的主 要损失途径。课题组前期研究表明,太湖地区不同氮 肥管理模式下稻田氮素环境排放总量为 40.4~85.8 kg·hm<sup>-2</sup>,其中径流氮损失为 6.8~9.2 kg·hm<sup>-2</sup>,占氮素 环境排放的10.7%~23%,是氮素损失的主要途径[5]。 为了控制稻田氮素损失,研究人员通过系列研究逐步 形成了调整肥料用量及运筹方式、新型缓控释肥料替 代和有机肥料替代等系列源头减量控制技术[6]。稻田 田面在田埂保护下形成封闭径流体系,只有在特殊情 况如降雨发生时,田面水才会溢出形成机会径流,因 此稻田径流的发生具有突发性偶然性的特征,年际间 随降雨波动较大[6-7]。因此,不同减量技术由于不同时 期肥料投入差异较大,季节氮素径流损失可能呈现不 同的阶段损失特征[8-10]。目前对径流氮素损失控制效 果的评价主要依靠径流池或径流收集管等对径流收 集测定后比较随机发生径流的氮素损失强度,对不同 时期径流发生风险关注较少[10-13]。不同类型肥料的养 分释放特性差异较大[14]。尿素等无机化肥施入稻田后 迅速溶于水,短时间内田面水氮素浓度升至峰值,有 机肥由于本身成分的复杂性,其养分释放通常呈现一 个长期的波动过程,而缓控释肥料由于肥料的缓慢 释放,田面水氮素浓度变化也呈现出长期的变化过 程[9,15-17]。因此不同减量技术氮素损失主要与径流-施 肥时间间隔及作物的不同生育期有关,短期监测数据 的分析可能由于年际间降雨的差异而无法真实反映 或掩盖单项技术的实际流失特征及控制效果。太湖地 区地处长江下游,水稻种植季降雨频发,本研究拟利 用历史气象数据,分析区域多年份降雨数据,寻求太

湖地区径流发生的易发期,并结合长期定位监测试验结果,对不同源头减量技术的径流氮素损失控制效果进行综合评价,提出适宜该区域的径流氮素减排技术。

# 1 材料与方法

### 1.1 历史气象资料分析

径流是多种因素综合发生的,受降雨量、降雨强度、田间植被覆盖度/LAI、土壤水分状况或水深等影响<sup>[18]</sup>。而稻田田面在田埂保护下形成封闭径流体系,只有在特殊情况如降雨发生时,田面水才会溢出形成机会径流<sup>[6]</sup>,因此作者在本文中根据径流发生受驱动因子的先后将降雨划分为前驱动因子,将田间植被和土壤水分划分为后驱动因子。而有研究表明只要有径流发生,径流初始期就是氮素流失的高风险期。由于田间和土壤条件时空变化差异较大,且属后驱动因子,因此本文中仅以前驱动因子降雨为依据来定性分析稻田径流易发期(即径流潜在发生风险)。

### 1.1.1 田间管理及统计区间划分

根据苏州历年水稻栽插实际,一般年份水稻栽插时间在6月5号左右开始,6月25号栽插结束,按基肥期与栽插同步及施肥后7d作为肥期,将基肥期区间划分为6月6日至7月2日,共27日历天。此外,一般栽插后10d左右于水稻缓苗后追施一次分蘖肥,并将施肥后7d时间划分为蘖肥期,因此蘖肥期区间划分为6月16日至7月12日,共27日历天。太湖地区水稻孕穗期一般集中在7月底8月初,按生产实践并考虑7d肥期,将7月26日至8月12日划分为穗肥期,共18日历天。其余时间均为非肥期,并按生育进程分为蘖肥一穗肥阶段(7月13日至7月25日)和穗肥后至成熟阶段(8月13日至11月10日)。需说明的是,由于地区水稻栽插时间历时较长,因此在统计区间上基肥和蘗肥期有时间重合,基肥—蘖肥阶段无法统计体现。

此外, 该地区田间水分管理以干湿交替灌溉为 主,前期栽插后保持 5~8 cm 浅水层促进水稻活棵并 抑制田间杂草发生,施肥前和孕穗扬花期田间灌水保 持 5~8 cm 水层,够苗期晒田,其他时间灌水后至自然 落干再补充水分。大面积田块田埂高度一般在 20 cm 左右,但水稻生长前期为了防止淹苗,田埂排水口高 度一般控制在 10 cm 左右,水层较浅,拔节后水稻株 高增加,排水口高度和田埂高度一致。

### 1.1.2 统计分析方法

将 1956—2015 年 60 年历史气象资料(中国气象局 气象数据中心)按上述统计区间分别统计区间内降雨频 次(天数)、累积降雨量,并折算降雨概率(降雨频次÷区 间天数)和单次平均降雨量(累积降雨量:降雨频次)。

#### 1.2 田间试验

# 1.2.1 试验设计

试验于 2009 年稻季开始在太湖东岸苏州市相城 区望亭镇迎湖村进行,供试土壤类型为黄泥土。稻季 采用大田育苗移栽,水稻收获后作冬闲处理。试验设 置 5 个处理, 3 次重复, 随机区组排列, 小区面积 40 m<sup>2</sup>,小区间作埂隔离防渗。每个小区单设进、排水口。 水稻栽插规格为 30 cm×13.3 cm,每穴定植 2 株。近 3 年(2014-2016年)水稻栽插及施基肥、施分蘖肥和 施穗肥时间分别为 2014-06-24、2014-07-10 和 2014-08-10,2015-06-21、2015-07-01 和 2015-08-13,2016-06-21、2016-07-06 和 2016-08-10。田间水 分管理同当地一致。按高产栽培要求进行病虫草害防 控。试验处理如下:

当地常规施肥处理(CN):总氮量 270 kg·hm<sup>-2</sup>,分 次施用,基肥:分蘖肥:穗肥分配比例为 3:3:4。磷肥用 量为 80 kg·hm<sup>-2</sup>, 一次性基施, 钾肥用量 90 kg·hm<sup>-2</sup>, 分两次使用,基施50%、穗肥施用50%。

化肥减量优化处理(RF): 总氮量 200 kg·hm<sup>-2</sup>, 分 次施用,基肥:分蘖肥:穗肥分配比例为 3:3:4。磷肥用 量为 0 kg·hm<sup>-2</sup>, 钾肥用量 90 kg·hm<sup>-2</sup>, 分两次使用, 基 施 50%、穗肥施用 50%。

缓控释肥减量替代处理(SCU): 总氮量 200 kg· hm<sup>-2</sup>,70%的氮采用水稻专用硫包衣尿素(N37%,汉枫 集团),基施,剩余30%氮采用尿素作为穗肥追施。磷 肥用量为65 kg·hm<sup>-2</sup>,一次性基施,钾肥用量90 kg· hm<sup>-2</sup>,分两次使用,基施 50%、穗肥施用 50%。

有机无机减量配施处理(OCN): 总氮量 200 kg· hm<sup>-2</sup>,其中有机肥占 20%,采用商品有机肥(基施),其 余80%为尿素。基肥:分蘖肥:穗肥分配比例为3:3:4。

磷肥用量为65 kg·hm<sup>-2</sup>,一次性基施,钾肥用量90 kg·hm<sup>-2</sup>,分两次使用,基施 50%、穗肥施用 50%。

全有机肥减量替代处理(OF): 总氮量 200 kg· hm<sup>-2</sup>,采用商品有机肥,一次性基施。

### 1.2.2 采样及测定方法

田面水:分别于基、追肥后一周时间内,每天连续 采集各田块田面水样,采集部位按S型每小区采集3 个点位样品混合; 采集后的混合水样过滤后用 AA3 流动分析仪分析水样的总氮、铵态氮和硝态氮含量。

径流样品:每次降雨产流后记录同期降雨量并采 集各小区预埋径流收集管内的径流水样,随即带回实 验室过滤后利用 AA3 流动分析仪分析径流水样的总 氮、铵态氮和硝态氮含量。

### 1.2.3 统计分析方法

按 1.1 区间划分方法,对径流易发期不同区间 3 年发生径流进行均值计算,来评价不同肥料类型该期 径流发生风险。常规数据处理和作图在 Excel 2007 中 进行,方差分析在 SPSS 16.0 中采用 Duncan 法对数 据进行差异显著性分析(P<0.05)。

# 2 结果与分析

# 2.1 径流易发期频次统计

# 2.1.1 1956—2015 年历史年降雨量和稻季降雨量

图 1 为 1956—2015 年 60 年历史降雨数据统 计分析。结果表明,近60年太湖地区年降雨量在 680.1~1 699.7 mm 之间,平均年降雨量为 1 132.6 mm。 水稻季(6月6日至11月10日)降雨量约为215.3~ 1 285.1 mm, 平均约为 629.1 mm。其中稻季降雨最低 和最高年份分别出现在 1967 年和 1999 年。稻季降雨 占全年降雨量的比例平均为 54.68% (27.94%~ 75.61%),占比较高。从近10年降雨数据来看,年均降 雨量约为 1 182.3 mm(914~1364 mm),波动较小。稻 季降雨量均值和占比分别为 650.8 mm 和 55.17%。近 10年降雨统计数据与60年统计数据均值接近,说明 利用近60年降雨数据预测和指征该区域降雨具有一 定代表性。

### 2.1.2 稻季不同肥期区间降雨概率

近60年水稻生长季单日降雨概率列于图2。结 果可以看出,水稻生长前期降雨概率较大,除个别天 次,6月21日—7月6日单日降雨概率均超过50%。 从肥期划分统计结果来看,基肥期(BF)和蘖肥期 (TF)降雨概率明显高于其他时期,是稻田径流的易发 期,降雨概率分别达到48.15%和49.81%。 蘖肥-穗肥

阶段(T-H)、穗肥期(HF)和穗肥后至成熟阶段(H-M)降雨概率较小,分别为 35.13%、30.28%和 32.74%。 五个时期降雨概率表现为:TF>BF>T-H>H-M>HF。

#### 2.1.3 稻季不同肥期区间单次平均降雨量

近 60 年日均降雨量数据表明(图 3),与降雨概率相一致,基肥期和蘗肥期日均降雨量较高,分别为12.81 mm 和 12.84 mm。此外,穗肥期日均降雨量也较

高,为11.73 mm。 藥肥-穗肥阶段和穗肥后-成熟阶段降雨量较低,分别为10.11 mm和9.43 mm。 五个时期日均降雨量整体表现为:TF>BF>HF>T-H>H-M。

### 2.2 径流易发期实际发生径流

### 2.2.1 径流易发期实际径流发生频次

前述分析表明,基肥期和蘗肥期(含基肥-蘗肥阶段)是径流发生的高风险期和径流减排的关键时期。

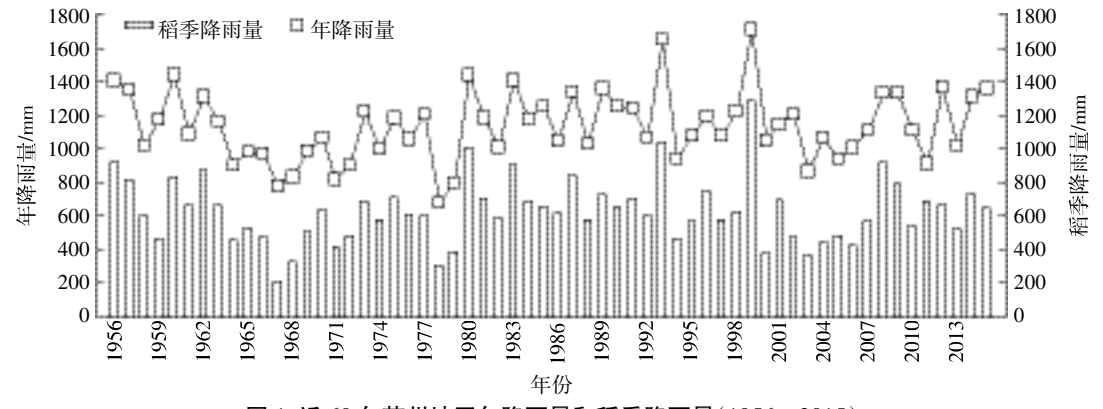


图 1 近 60 年苏州地区年降雨量和稻季降雨量(1956—2015)

Figure 1 Annual and rice season rainfall in Suzhou in recent 60 years (1956—2015)

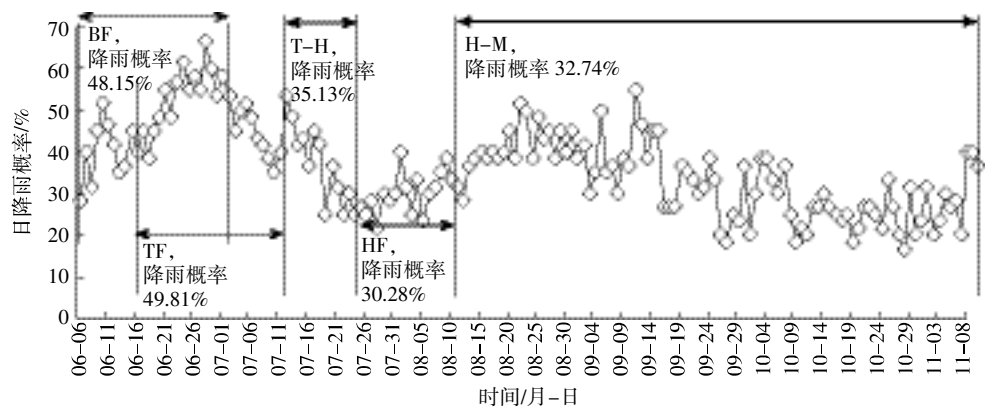


图 2 水稻生长季单日降雨概率统计(1956-2015)

Figure 2 Day rainfall probability in rice growing season (1956—2015)

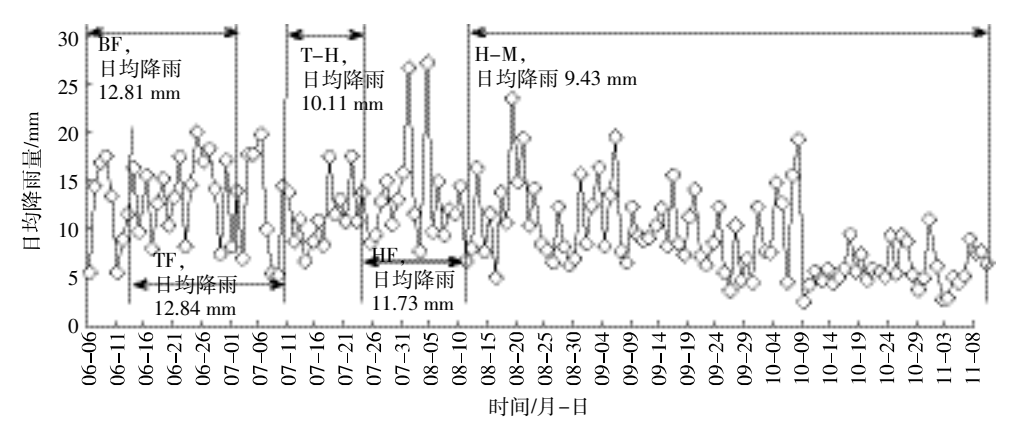


图 3 水稻生长季有降雨天次日平均降雨量(1956—2015)

Figure 3 The average rainfall for rainfall day in rice growing season (1956—2015)

表 1 为长期定位监测试验 2014、2015 年和2016 年在 基肥期、蘖肥期和基肥至蘖肥阶段三个径流易发期实 际发生径流频次的统计结果。从结果可以看出,近3 年径流易发期共有9次径流事件发生,降雨量集中在 11.5~282.3 mm。其中,基肥期共有 4 次径流发生,其 中 2014 年 1 次(降雨量 80 mm), 2015 年 1 次(降雨 量 24.3 mm), 2016 年 2 次(降雨量分别为 70.2 mm 和 157.5 mm); 蘗肥期共有2次径流发生,分别发生在 2014年(降雨量 73.9 mm)和 2016年(降雨量 11.5 mm); 基肥至蘖肥阶段共有3次径流发生,3年各产生1次 径流事件(降雨量分别为 19、31.3 和282.3 mm)。

#### 表 1 径流易发期实际发生径流频次及同期降雨量

Table 1 The actual frequency of runoff and precipitation in the same period in runoff prone period

径流易发期	径流发生时间	同期降雨量/mm
基肥期	2014-06-26	80
	2015-06-27	24.3
	2016-06-24	70.2
	2016-06-28	157.5
基肥-蘗肥阶段	2014-07-02	19
	2015-06-29	31.3
	2016-07-04	282.3
蘗肥期	2014-07-13	73.9
	2016-07-13	11.5

#### 2.2.2 径流氮素浓度

表 2 为三年监测期实际径流发生不同形态氮素 质量浓度。为便于统计分析和分期比较,对同一时期 径流事件实测氮素质量浓度进行了均值计算(表 2)。 结果表明,稻田径流易发期径流氮素损失以铵态氮为 主,基肥期和蘖肥期的径流总氮和铵态氮质量浓度明 显高于基肥-蘗肥阶段。从总氮质量浓度结果来看,与 氮素常规用量 CN 处理相比, 年际间变化较一致,化 肥减量优化处理 RF 和有机肥部分替代处理 OCN 在 三个时期的径流氮素浓度均较低,RF分别减少了 10.64%、2.49%和 13.36%, OCN 分别减少了 18.61%、 14.71%和 24.22%,均减少了径流损失的风险。硫包衣 尿素减量替代处理 SCU 基施后的基肥期和基肥-蘖 肥阶段的径流氮素浓度较高,2014年和2016年基肥 期总氮浓度均显著高于当地常规施肥处理 CN,增加 了氮素径流流失风险(基肥期增加 20.3%、基肥-蘖肥 阶段增加 11.72%), 但蘗肥期氮素浓度较低, 其中 2014年差异达到显著水平,降低了蘗肥期氮素流失 风险(减少 30.72%)。而全有机肥减量替代处理 OF 肥 期的径流氮素浓度较低(基肥期降低 9.04%、蘗肥期 降低 28.53%),但非肥期(基肥-蘗肥阶段)径流氮素 浓度较高,增加了19.7%。与无机化肥减量优化处理 RF相比,相同氮素用量下,SCU和OF处理均表现为

表 2 径流易发期实际发生径流氮素质量浓度/mg·L-1

Table 2 Nitrogen concentration in runoff water in runoff prone period

氮素	处理	基肥期					基肥-蘗肥阶段 蘗肥期						
形态	ベーンキ	2014-06-26	2015-06-27	2016-06-24	2016-06-28	均值	2014-07-02	2015-06-29	2016-07-04	均值	2014-07-13	2016-07-1	3 均值
TN	CN	19.51b	3.83ab	20.00ab	8.89b	13.06	5.35ab	3.93ab	2.74a	4.01	16.05a	10.45a	13.25
	RF	17.22b	3.67ab	$17.05 \mathrm{b}$	8.74b	11.67	5.75ab	3.67ab	2.31a	3.91	14.43ab	8.53ab	11.48
	SCU	23.38a	4.13ab	23.67a	11.66a	15.71	6.20a	4.48ab	2.77a	4.48	13.09b	5.26ab	9.18
	OCN	16.89b	2.84b	16.08b	5.36b	10.29	4.46b	3.17b	2.62a	3.42	13.89ab	6.18ab	10.04
	OF	18.26b	5.11a	17.38b	6.76bc	11.88	6.34a	5.10a	2.95a	4.80	14.76ab	4.18b	9.47
NH <sub>4</sub> +N	CN	19.21b	3.31ab	15.46ab	6.37b	11.09	3.08b	$3.46 \mathrm{bc}$	2.02a	2.85	13.55a	6.17a	9.86
	RF	16.96b	3.11ab	12.92b	5.92b	9.73	3.00b	3.10bc	1.53a	2.54	12.67a	4.96ab	8.82
	SCU	23.16a	3.65ab	16.63a	9.13a	13.14	4.51a	3.88ab	1.88a	3.42	11.47a	2.58ab	7.03
	OCN	15.85b	1.87b	12.89b	3.05c	8.42	3.31ab	2.56c	1.62a	2.50	12.22a	3.12ab	7.67
	OF	16.72b	3.79a	14.00ab	3.79c	9.58	2.92b	4.44a	2.09a	3.15	11.80a	1.05b	6.42
NOx-N	CN	0.30a	0.39a	1.33a	0.23a	0.56	2.27a	0.41a	0.71a	1.13	0.36a	0.14a	0.25
	RF	0.26ab	0.39a	1.13a	0.18ab	0.49	1.60ab	0.40a	0.76a	0.92	0.29a	0.10a	0.20
	SCU	0.22ab	0.38a	1.29a	0.15b	0.51	1.70ab	0.47a	0.87a	1.01	0.23ab	0.12a	0.18
	OCN	0.21b	0.30a	1.42a	0.19ab	0.53	1.17b	0.34a	0.82a	0.78	0.31a	0.10a	0.21
	OF	0.23ab	0.32a	1.54a	0.17ab	0.56	1.79ab	0.33a	0.84a	0.98	0.12b	0.11a	0.11

注:同列不同字母代表多重比较差异性显著(P<0.05),采用方法为 Duncan's,下同。

Note: Different letters for the same index mean significant difference between treatments at P<0.05 by Duncan's. The same below.

基肥期和基肥-蘗肥阶段径流氮素浓度较高,OCN处理径流氮素浓度较低。径流铵态氮浓度变化趋势与总氮浓度一致。不同阶段硝态氮浓度年际间变化差异较大,其中基肥期 2016年6月24发生的径流硝态氮浓度明显高于其他3次,基肥-蘗肥阶段的2014年7月2日径流硝态氮浓度明显高于其他2次,这可能与干湿交替水分管理有关。处理间硝态氮浓度比较来看,当地常规化肥处理的硝态氮浓度三个时期均较高,2014年6月26(基肥期)和2014年7月2日(基肥- 糜肥阶段)显著高于OCN处理,2016年6月28(基肥期)显著高于SCU处理,2014年7月13(藥肥期)显

著高于 OF 处理,其他处理间差异均未达到显著水平。

### 2.3 基肥期和蘖肥期田面水氮素浓度

太湖地区稻季田面水氮素径流损失是太湖水体富营养化的重要原因。因此,田面水氮素质量浓度在一定程度上可以反映稻田氮素径流损失风险。为进一步实证不同减量替代处理在径流易发期径流流失风险,对定位试验稻田施肥后基肥期和麋肥期田面水氮素质量浓度进行了分析(表3)。结果表明,稻田田面水氮素以铵态氮为主,硝态氮浓度较低。田面水铵态氮浓度变化与总氮浓度变化一致。从总氮浓度结果来

表 3 不同施肥处理基肥期和蘖肥期田面水氮素质量浓度(2016)(mg·L-1)

Table 3 Nitrogen concentration in surface water in basal fertilization and tillering fertilization stages under different fertilization treatments ( $mg \cdot L^{-1}$ )

氮素形态	肥期	处理	1 d	2 d	3 d	4 d	5 d	6 d	7 d	平均浓度
TN	基肥期	CN	31.58a	12.42ab	19.74a	10.23b	12.33b	5.99a	6.99ab	14.18
		RF	18.25a	15.25ab	19.16a	10.93b	11.77b	7.51a	4.75bc	12.52
		SCU	28.75a	18.58a	20.79a	13.49a	17.70a	6.26a	9.20a	16.40
		OCN	23.92a	8.25b	10.14b	5.55e	8.35b	3.87a	3.68e	9.11
		OF	23.58a	11.17ab	12.92b	7.22c	9.58b	4.69a	$5.55 \mathrm{be}$	10.67
	蘗肥期	$\mathbf{C}\mathbf{N}$	62.17ab	12.50a	11.97a	11.48a	17.94ab	13.06a	8.53ab	19.66
		RF	32.83ab	11.10a	10.77a	10.76ab	20.32a	10.43a	10.45a	15.24
		SCU	21.08b	9.67a	9.73a	8.60ab	15.66ab	9.78a	5.26ab	11.40
		OCN	52.58a	8.30a	8.30a	10.08ab	13.42b	9.51a	6.18ab	15.48
		OF	29.67ab	8.83a	8.90a	6.32b	12.57b	9.26a	4.18b	11.39
$NH_4^+-N$	基肥期	CN	21.08a	9.83a	13.58a	8.23b	9.22b	3.18a	4.84a	10.00
		RF	13.00c	12.83a	11.99a	8.65b	8.32bc	3.80a	2.91b	8.79
		SCU	20.75ab	11.17a	14.03a	11.41a	13.54a	4.90a	6.65a	11.78
		OCN	$15.25 \mathrm{bc}$	6.83a	5.64b	3.63c	4.99c	1.78a	1.82b	5.71
		OF	16.42abc	11.58a	6.68b	4.35c	5.06c	2.98a	2.75b	7.12
	蘗肥期	CN	61.50a	11.70a	11.57a	11.04a	13.36ab	8.02a	4.96a	17.45
		RF	32.08ab	10.90a	10.47a	10.42a	14.78a	6.31ab	6.17a	13.02
		SCU	19.92b	8.80a	8.07a	8.49a	$10.24 \mathrm{abc}$	5.06ab	2.58ab	9.02
		OCN	51.67a	7.77a	7.90a	9.80a	$8.96 \mathrm{bc}$	5.27ab	3.12ab	13.50
		OF	27.25ab	8.27a	8.57a	6.28a	6.56e	3.10b	1.05b	8.72
NOx-N	基肥期	CN	1.92a	0.68a	0.15a	0.26a	0.17a	0.22ab	0.25a	0.52
		RF	1.50a	0.69a	0.14a	0.20ab	0.10ab	0.25a	0.17a	0.44
		SCU	1.83a	0.65a	0.11a	0.17b	0.09b	0.12b	0.21a	0.45
		OCN	2.08a	0.64a	0.13a	0.19ab	0.17a	0.20ab	0.18a	0.51
		OF	2.33a	0.72a	0.17a	0.17b	0.10ab	0.18ab	0.21a	0.55
	蘖肥期	CN	0.67a	0.80a	0.40a	0.44a	0.12a	0.50a	0.37a	0.47
		RF	0.75a	0.47 bc	0.30a	0.33a	0.05a	0.29ab	0.10a	0.33
		SCU	0.67a	0.50be	0.37a	0.11a	0.08a	0.12b	0.21a	0.29
		OCN	0.92a	0.53b	0.40a	0.28a	0.10a	0.27ab	0.10a	0.37
		OF	0.63a	0.33c	0.33a	0.04a	0.06a	0.03b	0.07a	0.21

注:1 d代表施肥后第1d,其他相同。

Note: 1 d stands for first days after fertilization, the others are the same.

看,不同处理下田面水氮素浓度均在施肥后1d达到 峰值,此后逐渐降低。从田面水氮素浓度均值来看,除 基肥期 SCU 处理的氮素浓度高于 CN 处理,其他处理 基肥期和蘗肥期氮素浓度均低于 CN 处理。此外,从 基肥期 SCU 处理的单日田面水氮素浓度变化来看, SCU 处理的田面水峰值浓度低于 CN 处理, 但后期 CN处理浓度下降较快。

与减量优化施肥处理 RF 相比,等氮量的 SCU 处 理的基肥期田面水氮素浓度较高,但蘗肥期较低。全有 机肥替代 OF 处理的田面水氮素浓度在基肥期和蘖肥 期均低于 RF 处理。而有机肥部分替代处理 OCN 则表 现为基肥期较低,但蘖肥期较高,这可能与蘖肥期无机 氮素投入相同,但基肥期施入的有机肥缓慢释放有关。

田面水硝态氮浓度结果表明, 与 CN 处理相比, 基肥期施用有机肥处理(OCN 和 OF)的硝态氮浓度 较高,减量优化施肥处理 RF 和硫包衣尿素替代处理 SCU 的硝态氮浓度较低, 蘗肥期施用无机尿素处理 (CN、RF和OCN)的硝态氮浓度较高,CN处理的浓度 最高,而在该期不施肥的 SCU 和 OF 处理硝态氮浓度 较低,但处理间差异未达到显著水平。

# 3 讨论

对于稻田径流发生流失风险的研究,多集中于径 流浓度和损失量的比较,对于不同生育期发生风险的 关注较少[10-13]。稻田田面在田埂保护下形成封闭径流 体系,只有在特殊情况如降雨发生时,田面水才会溢 出形成机会径流6。有研究指出,增加田埂排水口高度 是减少稻田氮素流失的重要途径,但水稻生长前期为 了防止淹苗,田埂一般较低,水层较浅,这更增加了水 稻生长前期的流失风险[14,19]。此外,焦瑞峰等[18]研究发 现,水稻生长后期水稻冠层对于降雨能量有一定的缓 冲作用,这在一定程度上减缓了径流发生的风险。本 研究结果表明,水稻生长前期降雨概率较大,6月21 日一7月6日单日降雨概率均超过50%(图2)。从阶 段统计结果来看,基肥期和蘖肥期(含基肥-蘖肥阶 段)降雨概率和降雨量均明显高于其他阶段,降雨概 率分别达 48.15%和 49.81%,降雨量分别为12.81 mm 和 12.84 mm, 均超过实际监测到径流的同期最低降 雨量 11.5 mm(表 1),产生径流可能性较大。这说明, 由降雨驱动的水稻生长前期降雨概率和降雨量本身 高于其他生育期。而当地的前期水层管理措施(栽插 后保持 5~8 cm 浅水层促进水稻活棵并抑制田间杂草 发生,此外前期为了防止淹苗,田埂排水口高度一般

控制在 10 cm 左右)及较小的水稻冠层叶面积加重了 径流发生的风险。此外,水稻高产氮肥运筹中基肥和 蘖肥的氮肥投入约占施氮总量的50%~60%[20-22],这更 增加了前期氮素流失风险。

新型缓控释肥和有机肥等替代肥料的养分释放 特性与无机化肥差异较大[14]。尿素等化肥施入稻田后 迅速溶于水,短时间内田面水氮素浓度升至峰值,有 机肥由于本身成分的复杂性及受微生物作用,其氮素 释放通常呈现一个长期的波动过程,而缓控释肥料由 于肥料的缓慢释放,田面水氮素浓度变化也呈现出长 期的变化过程[9,15-17]。为了明确不同肥料类型及施用方 式在径流易发期径流流失风险,本研究利用长期定位 试验从实际观测径流和施肥后田面水氮素质量浓度 两方面进行了分析。结果表明,径流和田面水氮素均 以铵态氮为主,硝态氮浓度较低,不同年际间径流氮 素浓度变化处理间较一致。化肥减量处理较常规用量 处理的径流和田面水氮素浓度均降低,径流易发期3 个阶段分别较 CN 处理降低了 10.64%、2.49% 和 13.36%,有利于降低径流氮素流失。而硫包衣尿素由 于一次施用较大,基肥期和基肥-蘖肥阶段实测径 流氮素浓度和基肥期田面水氮素浓度明显高于其他 处理(基肥期较 CN 增加了 20.3%、基肥-蘖肥阶段较 CN 增加了 11.72),增加了氮素径流流失风险,但蘖肥 期径流和田面水氮素浓度均较低, 径流总氮浓度较 CN 降低了 30.72%, 流失风险较小。这可能与硫包衣 尿素的释放特性有关。谷佳林等[23]对硫包衣尿素肥料 释放特性研究发现,硫包衣尿素养分释放速率受温度和 水分影响较大,肥料所处环境温度越高,水分含量越大, 养分释放速率越快。稻田温度较高,移栽时土壤水分含 量处于饱和状态,这加快了硫包衣尿素的释放[24-25]。有 机肥氮素分解是一个复杂的过程,受其化学成分和土 壤温湿度、通气状况、C/N 等多因素影响[26-27]。本研究 结果表明,有机肥部分替代(20%替代)和全量替代处 理径流易发期氮素流失风险表现不一致,基肥期和基 肥-蘗肥阶段 OF 处理的氮素浓度较高, 蘗肥期 OCN 处理的径流和田面水氮素浓度较高,这可能是由于添 加量和施肥方式差异导致的。此外,与无机化肥处理 相比,有机肥全量替代处理的肥期(基肥期和蘖肥期) 径流氮素浓度和田面水氮素浓度均低于高量和等量 无机化肥处理(CN、RF),较CN处理基肥期降低了 9.04%、蘖肥期降低了 28.53%, 但非肥期(基肥-蘖肥 阶段)径流氮素浓度较高,较CN增加了19.7%,氮素 径流损失增加。与有机肥全量添加不同的是,20%有

机肥添加处理 OCN 的径流易发期的径流氮素浓度低 于高量和等量无机化肥处理(CN、RF),三个阶段分别 较 CN 处理减少了 18.61%、14.71%和 24.22%,但等氮 量下蘗肥期田面水峰值浓度较无机化肥 RF 处理高, 这可能与有机肥的释放密切相关。与单施有机肥相 比,配施化肥可以降低初始碳氮比,并为异养微生物 提供充足的无机氮源,促进有机肥氮素矿化,增加氮 素矿化量[28-30]。此外,从径流硝态氮浓度结果来看,除 CN 处理的径流硝态氮浓度较高外,其他处理均不显 著,但值得注意的是,不同阶段硝态氮浓度年际间变化 差异较大,其中基肥期 2016 年 6 月 24 日发生的径流 硝态氮浓度明显高于其他 3 次,基肥-蘗肥阶段的2014 年7月2日径流硝态氮浓度明显高于其他2次。有研 究表明,在一定土壤水分含量下,硝化速率随水分含 量的增加而增加,在氧供应受限时,硝化速率开始下 降門。因此,不同年际间硝态氮浓度的变化可能与干湿 交替水分管理导致的土壤含水量及氧化还原电位变 化有关。由于田间径流监测仅采用径流收集管对径流 氮素浓度进行了评估,因此对不同时期径流损失量未 进行量化比较,这需要在今后试验中进一步补充量化, 以此对不同阶段氮素实际损失量进行比较分析。

## 结论

- (1)基肥期和蘗肥期(含基肥-蘗肥阶段)降雨概 率和降雨量较高,降雨概率分别达48.15%和49.81%, 降雨量分别为 12.81 mm 和 12.84 mm,均超过实际监 测到径流的同期最低降雨量 11.5 mm,产生径流可能 性较大,是稻田径流的易发期。
- (2)不同类型肥料能够降低易发期内不同阶段径 流氮素浓度,但在径流易发期的径流氮素损失控制效 果不能一概而论。与常规化肥用量处理相比,化肥减 量和有机肥减量替代处理能够降低径流易发期径流 氮素损失;但硫包衣尿素减量替代处理的基肥期和基 肥-蘖肥阶段径流氮素损失风险增加,但蘖肥期径流 氮素浓度减少;而全有机肥减量替代处理的肥期径流 和田面水氮素浓度降低,其中基肥期径流氮素浓度较 CN 处理降低 9.04%、蘖肥期降低 28.53%, 但基肥-蘖 肥阶段径流氮素浓度较 CN 处理增加了 19.7%,氮素 径流损失风险较高。

### 参考文献:

[1] 杨林章, 施卫明, 薛利红, 等. 农村面源污染治理的"4R"理论与工程 实践——总体思路与"4R"治理技术[J]. 农业环境科学学报, 2013, 32(1):1-8.

- YANG Lin-zhang, SHI Wei-ming, XUE Li-hong, et al. Reduce-retainreuse-restore technology for the controlling the agricultural non-point source pollution in countryside in China: General countermeasures and technologies[J]. Journal of Agro-Environment Science, 2013, 32(1): 1-8.
- [2] Yang S, Peng S, Xu J, et al. Nitrogen loss from paddy field with different water and nitrogen managements in Taihu Lake region of China[J]. Communications in Soil Science and Plant Analysis, 2013, 44(16):2393-2407
- [3] Zhao X, Zhou Y, Min J, et al. Nitrogen runoff dominates water nitrogen pollution from rice-wheat rotation in the Taihu Lake region of China[J]. Agriculture Ecosystems & Environment, 2012, 156(4):1-11.
- [4] 王桂良, 崔振岭, 陈新平, 等. 南方稻田活性氮损失途径及其影响因 素[J]. 应用生态学报, 2015, 26(8):2337-2345. WANG Gui-liang, CUI Zhen-ling, CHEN Xin-ping, et al. Reactive nitrogen loss pathways and their effective factors in paddy field in Southern China[J]. Chinese Journal of Applied Ecology, 2015, 26(8):2337-
- [5] 薛利红, 俞映倞, 杨林章. 太湖流域稻田不同氮肥管理模式下的氮素 平衡特征及环境效应评价[J]. 环境科学, 2011, 32(4):1133-1138. XUE Li-hong, YU Ying-liang, YANG Lin-zhang. Nitrogen balance and environmental impact of paddy field under different N management methods in Taihu Lake region[J]. Environmental Science, 2011, 32(4): 1133-1138.
- [6] 薛利红, 杨林章, 施卫明, 等. 农村面源污染治理的"4R"理论与工程 ---源头减量技术[J]. 农业环境科学学报, 2013, 32(5):881-
  - XUE Li-hong, YANG Lin-zhang, SHI Wei-ming, et al. Reduce-retainreuse-restore technology for controlling the agricultural non-point pollution in countryside in China: Source reduction technology[J]. Journal of Agro-Environment Science, 2013, 32(5):881-888.
- [7] Ye Y S, Liang X Q, Chen Y X, et al. Alternate wetting and drying irrigation and controlled-release nitrogen fertilizer in late-season rice. Effects on dry matter accumulation, yield, water and nitrogen use[J]. Field Crops Research, 2013, 144(6):212-224.
- [8] 侯朋福,薛利祥,范立慧,等. 氮肥类型及施用方式对节水抗旱稻田 面水氮动态及产量的影响[J]. 中国稻米, 2016, 22(3):43-48. HOU Peng-fu, XUE Li-xiang, FAN Li-hui, et al. Effects of nitrogen fertilizer type and application method on surface water nitrogen dynamics and yield of drought-resistance rice[J]. China Rice, 2016, 22(3):43-48.
- [9] Shaviv A, Mikkelsen R L. Controlled-release fertilizers to increase efficiency of nutrient use and minimize environmental degradation: A review[J]. Nutrient Cycling in Agroecosystems, 1993, 35(1):1-12.
- [10] Xue L H, Yu Y L, Yang L Z. Maintaining yields and reducing nitrogen loss in rice-wheat rotation system in Taihu Lake region with proper fertilizer management[J]. Environmental Research Letters, 2014, 9(11): 115010.
- [11] Yu Y L, Xue L H, Yang L Z. Winter legumes in rice crop rotations reduces nitrogen loss, and improves rice yield and soil nitrogen supply[J]. Agronomy for Sustainable Development, 2014, 34(3):633-640.
- [12] Qiao J, Yang L Z, Yan T M, et al. Nitrogen fertilizer reduction in rice

- production for two consecutive years in the Taihu Lake area[J]. A griculture Ecosystems & Environment, 2012, 146(1):103–112.
- [13] 纪雄辉, 郑圣先, 鲁艳红, 等. 施用尿素和控释氮肥的双季稻田表层水氮素动态及其径流损失规律[J]. 中国农业科学, 2006, 39(12): 2521-2530.
  - JI Xiong-hui, ZHENG Sheng-xian, LU Yan-hong, et al. Dynamics of floodwater nitrogen and its runoff loss, urea and controlled release nitrogen fertilizer application regulation in rice[J]. *Scientia Agricultura Sinica*, 2006, 39(12):2521–2530.
- [14] 傅朝栋. 基于 ArcGIS 的区域尺度稻田降雨径流氮磷流失负荷估算 [D]. 杭州:浙江大学, 2015.
  - FU Chao-dong. ArcGIS based regional estimation of nitrogen and phosphorus loss loads in surface runoff from rice paddy fields[D]. Hangzhou; Zhejiang University, 2015.
- [15] 郭 智, 周 炜, 陈留根, 等. 施用猪粪有机肥对稻麦两熟农田稻季养分径流流失的影响[J]. 水土保持学报, 2013, 27(6):21-25. GUO Zhi, ZHOU Wei, CHEN Liu-gen, et al. Effect of pig manure application on surface runoff losses of soil nitrogen and phosphorus during the paddy season in intersive rice-wheat rotation field[J]. Journal of Soil and Water Conservation, 2013, 27(6):21-25.
- [16] Guo H Y, Zhu J G, Wang X R, et al. Case study on nitrogen and phosphorus emissions from paddy field in Taihu region[J]. *Environmental Geochemistry and Health*, 2004, 26(2):209–219.
- [17] 金 洁, 杨京平, 施洪鑫, 等. 水稻田面水中氮磷素的动态特征研究 [J]. 农业环境科学学报, 2005, 24(2): 357-361.
  - JIN Jie, YANG Jing-ping, SHI Hong-xin, et al. Variations of nitrogen and phosphorus in surface water body of a paddy field[J]. *Journal of A gro-Environment Science*, 2005, 24(2):357–361.
- [18] 焦瑞锋, 张鸿睿, 卞新民. 稻田降雨径流扰动系数的解析分析[J]. 浙 江农业学报, 2012, 24(5): 898-903.
  - JIAO Rui-feng, ZHANG Hong-rui, BIAN Xin-min. Analytical analysis of paddy runoff disturbance coefficient[J]. *Acta A griculturae Zhe-jiangensis*, 2012, 24(5):898–903.
- [19] Mishra A, Ghorai A K, Singh S R. Rainwater, soil and nutrient conservation in rainfed rice lands in Eastern India[J]. A gricultural Water Management, 1998, 38(1):45–57.
- [20] 薛利红,李刚华,侯朋福,等.太湖地区稻田持续高产的减量施氮技术体系研究[J].农业环境科学学报,2016,35(4):729-736.
  - XUE Li-hong, LI Gang-hua, HOU Peng-fu, et al. Nitrogen reduction technique system for sustaining high yield of paddy fields[J]. *Journal of A gro-Environment Science*, 2016, 35(4):729–736.
- [21] 林晶晶. 水稻对基蘖穗肥氮素的吸收利用差异及适宜比例的研究 [D]. 南京:南京农业大学, 2014.
  - LIN Jing-jing. Studies on absorption and utilization and optimum proportion of nitrogen of basic, tillering and panicle fertilizer in rice[D]. Nanjing; Nanjing Agricultural University, 2014.
- [22] 范立慧, 徐珊珊, 侯朋福, 等. 不同地力下基蘖肥运筹比例对水稻

- 产量及氮肥吸收利用的影响[J]. 中国农业科学, 2016, 49(10): 1872-1884.
- FAN Li-hui, XU Shan-shan, HOU Peng-fu, et al. Effect of different ratios of basal to tiller nitrogen on rice yield and nitrogen utilization under different soil fertility[J]. *Scientia Agricultura Sinica*, 2016, 49 (10):1872–1884.
- [23] 谷佳林, 徐 凯, 付铁梅, 等. 不同密闭材料硫包衣尿素氮素释放特性及对夏玉米生长的影响[J]. 植物营养与肥料学报, 2011, 17(3): 630-637.
  - GU Jia-lin, XU Kai, FU Tie-mei, et al. Nitrogen release characteristics of different hermetic material sulfur coated urea and their effects on summer maize[J]. *Plant Nutrition and Fertilizer Science*, 2011, 17(3): 630-637.
- [24] Miao X K, Xing X M, Ding Y F, et al. Yield and nitrogen uptake of bowl-seedling machine-transplanted rice with slow-release nitrogen fertilizer[J]. *A gronomy Journal*, 2015, 108(1):313-320.
- [25]李 敏, 郭熙盛, 叶舒娅, 等. 硫膜和树脂膜控释尿素对水稻产量、 光合特性及氮肥利用率的影响[J]. 植物营养与肥料学报, 2013, 19 (4):808-815.
  - LI Min, GUO Xi-sheng, YE Shu-ya, et al. Effects of sulfur-and polymer-coated controlled release urea on yield, photosynthetic characteristics and nitrogen fertilizer efficiency of rice[J]. *Journal of Plant Nutrition and Fertilizer*, 2013, 19(4):808–815.
- [26] 刘更另, 金维续. 中国有机肥料[M]. 北京:农业出版社, 1991. LIU Geng-ling, JIN Wei-xu. Chinese organic fertilizer[M]. Beijing: A-gricultural Press, 1991.
- [27] 朱大威, 黄 耀, 卢燕宇. 有机肥氮素释放动态模型的初步研究[J]. 南京农业大学学报, 2006, 29(3):146-150. ZHU Da-wei, HUANG Yao, LU Yan-yu. A primary study on modeling nitrogen release from organic manure[J]. *Journal of Nanjing Agricultu*-

ral University, 2006, 29(3):146-150.

- [28] 张 璐, 石 林, 蔡泽江, 等. 有机肥与化肥不同比例配施下水稻土 铵态氮释放特征[J]. 中国土壤与肥料, 2015(4):15-22.

  ZHANG Lu, SHI Lin, CAI Ze-jiang, et al. The ammonium nitrogen release characteristic of paddy soil with mixed application of different ratios of organic and inorganic fertilizer[J]. Soil and Fertilizer Sciences in China, 2015(4):15-22.
- [29] Chantigny M H, Angers D A, Prévost D, et al. Dynamics of soluble organic C and C mineralization in cultivated soils with varying N fertilization[J]. Soil Biology & Biochemistry, 1999, 31(4):543–550.
- [30] Sikora L J, Enkiri N K. Efficiency of compost-fertilizer blends compared with fertilizer alone[J]. Soil Science, 2000, 165(5):444-451.
- [31] 张 威, 张旭东, 何红波, 等. 干湿交替条件下土壤氮素转化及其影响研究进展[J]. 生态学杂志, 2010, 29(4):783-789.

  ZHANG Wei, ZHANG Xu -dong, HE Hong -bo, et al. Research ad
  - vances in soil nitrogen transformation as related to drying/wetting cycles[J]. Chinese Journal of Ecology, 2010, 29(4):783–789.